

УДК 535.34 : 546.21

СДВИГ ЛИНИЙ В ПОЛОСЕ «A» КИСЛОРОДА В ЗАВИСИМОСТИ ОТ ДАВЛЕНИЯ

В. Д. Галкин

Для давлений меньше одной атмосферы измерена величина смещения линии поглощения кислорода в полосе *A* в зависимости от давления. Полученное значение сдвига при изменении давления на 1 атм. $\delta c = (0.0063 \pm 0.0011) \text{ см}^{-1}$. Коэффициент поглощения для всей атмосферы, вычисленный с учетом сдвига, асимметричен имещен в сторону больших длин волн. Характер асимметрии линий поглощения изменяется в зависимости от энергии нижнего уровня *E*, причем с увеличением *E* асимметрия уменьшается, но увеличивается сдвиг линии в целом. Вследствие асимметрии коэффициента поглощения положение линии изменяется с увеличением эквивалентной ширины линии. Однако максимальная асимметрия и соответственно максимальное изменение положения линии с увеличением ее интенсивности не превышает 0.002 Å.

Атмосферные линии поглощения являются удобными реперами при измерении длин волн в спектрах небесных объектов. Атмосферные линии кислорода часто используются для определения инструментального профиля спектрографа. Кроме этих узких задач, асимметрия теллурических линий представляет большой интерес для изучения физики атмосферы. В связи с этим желательно исследовать стабильность положения и профиля линий поглощения в атмосфере. Одним из факторов, влияющих на положение и форму атмосферных линий, может быть сдвиг линий в зависимости от давления.

Возможность сдвига линий от давления в ближайшей инфракрасной атмосферной системе полос кислорода обсуждалась Г. Ван де Хюлстом [1]. Из теоретических соображений Ван де Хюлст оценил величину сдвига и рассмотрел коэффициент поглощения кислородной линии с учетом сдвига в изотермической атмосфере. Коэффициент поглощения оказался асимметричным и смещенным в красную сторону, причем величина смещения центра тяжести коэффициента поглощения менялась по высоте от $0.54 \cdot 10^{-6} \text{ } \text{\AA}$ для пикового значения до $1.64 \cdot 10^{-6} \text{ } \text{\AA}$ у основания.

Исходя из этого, можно было ожидать, что атмосферные линии будут асимметричны и длины волн будут различаться в зависимости от того, измерены ли они в теллурическом спектре, полученном в горной обсерватории или расположенной на уровне моря, или в спектре лабораторного источника света. Длины волн должны также зависеть немного от зенитного расстояния источника. Г. Ван де Хюлст отметил, однако, что, согласно исследованиям, проведенным в обсерватории Маунт-Вилсон, все эти эффекты не наблюдаются.

Позднее асимметрия атмосферных линий в полосе α кислорода была отмечена Карпинским [2] при исследовании инструментального контура спектрофотометра. Максимальное смещение центра тяжести в линии порядка 7 м \AA было близко к значению, предсказанному в работе [1], однако без дополнительных исследований было неясно, обусловлена ли эта асимметрия линий физическими явлениями в кислороде или имеет инструментальное происхождение.

Сдвиг линий в полосе «*A*» кислорода от давления был недавно обнаружен Адикс и Диановым—Клоковым [3]. В работе [3] исследовался

профиль линии поглощения при прохождении света через кювету со сжатым воздухом при давлении 11 и 16 атм. Воздух в спектрографе находился при атмосферном давлении. Наблюдаемые профили сравнивались с вычисленными. Согласие было наилучшим, если при вычислении профиля предположить, что линия поглощения при 1 атм. на 0.076 (0.12) см^{-1} в сторону больших длин волн. Это позволило предположить, что сдвиг пропорционален давлению, и определить величину сдвига на единицу изменения давления $\delta\sigma=0.0078 \text{ см}^{-1}$.

Представляет, однако, интерес проверить, можно ли экстраполировать величину сдвига, полученную при давлениях порядка 10 атм., на давления которые имеют место в атмосфере земли.

В настоящей работе сдвиг измерен другим методом для давлений меньше одной атмосферы, а также рассмотрено положение и профиль атмосферных линий кислорода с учетом сдвига.

Методика эксперимента. Результаты

Для определения величины сдвига измерялось положение линий в спектре поглощения воздуха при давлениях 0.1, 0.3 атм. относительно линий в спектре поглощения воздуха при давлении 1 атм. Спектры поглощения при 0.1 (0.3) и 1 атм. фотографировались одновременно, непосредственно друг под другом. Схема установки дана на рис. 1. Геометрические пути составляли 500, 100 и 40 м при 0.1, 0.3 и 1 атм. соответственно. Интенсивности линий для всех трех условий практически были одинаковые.

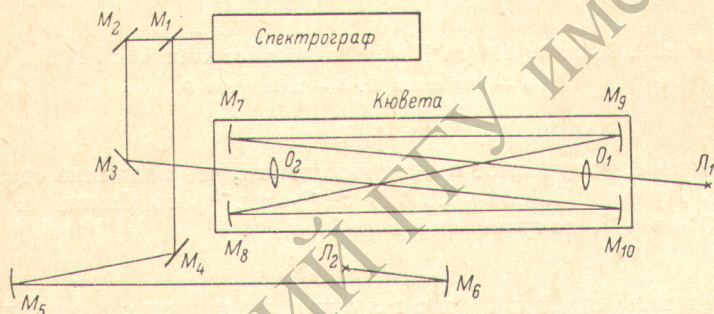


Рис. 1. Оптическая схема установки.

Зеркала M_1, M_2, M_3, M_4 — плоские, M_7, M_8, M_9, M_{10} — сферические с радиусом кривизны 97 м; M_5, M_6 — сферические, O_1, O_2 — линзы, L_1, L_2 — лампы накаливания.

Величина сдвига ожидалась малой, поэтому для дополнительного контроля спектры были получены во 2-м, 3-м и 4-м порядках с обратной линейной дисперсией 1.6, 0.87 и 0.36 \AA/mm . Спектограф во время эксперимента откачивался до давлений $\sim 1/1000$ атм.

Измерялись линии $R_2 - R_{15}$ в ветви R ($R_2 - R_7$ в 4-м порядке) и $P_2 - P_{15}$ в ветви P . Измерения проводились на компараторе ИЗА-2 при четырех положениях негатива спектра на его столике. При каждом положении фотопластинки делалось 5 наведений на каждую линию в обоих спектрах. Значения смещения, усредненные по всем линиям, для каждого негатива представлены в таблице. С учетом всех линий каждое такое значение является средним ~ 500 измерений.

Сравнение смещений при разностях давлений (0.1–1) и (0.3–1) атм. показывает, что сдвиг пропорционален давлению, причем большему давлению соответствует большая длина волны.

Величина сдвига на единицу давления в виде средневзвешенного из шести спектров была вычислена отдельно для каждой линии (рис. 2). Из рис. 2 видно, что имеется некоторая тенденция к уменьшению сдвига с увеличением квантового числа J . Сплошной линией для сравнения по-

Порядок спектра	Обратная дисперсия, \AA/mm	Смещение при разности давлений, атм			
		1÷0.3		1÷0.1	
		мкм	cm^{-1}	мкм	cm^{-1}
2-й	1.60	1.2±1.9	$(3.3\pm 5.2)\cdot 10^{-3}$	1.9±2.2	$(5.6\pm 6.5)\cdot 10^{-3}$
3-й	0.87	2.1±2.4	$(3.1\pm 3.8)\cdot 10^{-3}$	3.4±2.2	$(5.4\pm 3.3)\cdot 10^{-3}$
4-й	0.36	7.2±3.0	$(4.7\pm 2.0)\cdot 10^{-3}$	10.8±5.0	$(7.0\pm 3.2)\cdot 10^{-3}$

казано относительное изменение полуширины линии с J [4, 5]. Данные, однако, немногочисленны, чтобы с уверенностью говорить, что сдвиг изменяется с J аналогично полуширинам. Средневзвешенное значение сдвига

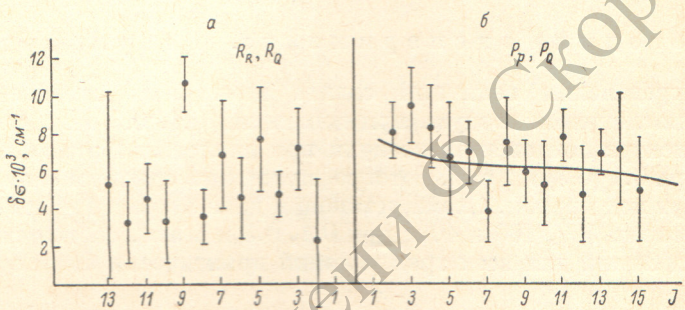


Рис. 2. Сдвиг $\delta\sigma \cdot 10^3$ (cm^{-1}) в зависимости от квантового числа.
а — для ветви R , б — для ветви P

по всем линиям, полученное в предположении, что величина сдвига не зависит от J , равно (0.0064 ± 0.0011) $\text{cm}^{-1}\cdot\text{атм.}^{-1}$. Это близко к значению 0.0078 $\text{cm}^{-1}\cdot\text{атм.}^{-1}$, полученному в работе [3].

Сдвиг линий поглощения кислорода в атмосфере

В атмосфере с высотой происходит смещение положения и изменение профиля коэффициента поглощения. Для вычисления коэффициента поглощения k , кислородной линии всей атмосферы последняя предполагалась слоистой, состоящей из 17 слоев до высоты 40 км. Разбиение на слои производилось таким образом, чтобы каждый слой давал примерно одинаковый вклад в области центральной частоты. Для каждого слоя на основе средних значений температуры и плотности, взятых из стандартной модели атмосферы СМА СССР [6], вычислялись частота максимума и форма коэффициента поглощения.

Предполагалось, что форма коэффициента поглощения определяется совместным действием допплеровского уширения и уширения давлением лорентцевского типа. Вычисления были проведены для линий с разным значением энергии нижнего уровня E , так как в связи с изменением температуры с высотой вклад данного слоя в суммарный коэффициент поглощения будет зависеть от E . Во всех случаях принималось, что полуширина лорентцевского коэффициента поглощения при атмосферном давлении $\gamma_0=0.05$ cm^{-1} , а величина сдвига $\delta\sigma=0.0063$ ($\text{см}\cdot\text{атм.}^{-1}$). Профили коэффициента поглощения для всей атмосферы, полученные в результате суммирования по всем слоям, имеют лорентцевскую форму, но различную полуширину и разную асимметрию. Изменение полуширины в зависимости от E близко соответствует изменению эффективной полуширины, вы-

численному в работе [1]. Смещение центра тяжести коэффициента поглощения в зависимости от отношения k_y/k_{\max} для разных значений энергии нижнего уровня приведено на рис. 3.

Так как профиль слабой линии соответствует профилю коэффициента поглощения, то для нее смещение центра тяжести в линии от ее глубины также будет соответствовать рис. 3. С увеличением насыщения в линии характер асимметрии линии будет изменяться, так как данной глубине линии будут соответствовать разные части профиля коэффициента поглощения. Для иллюстрации на рис. 4 представлено смещение центра тяжести

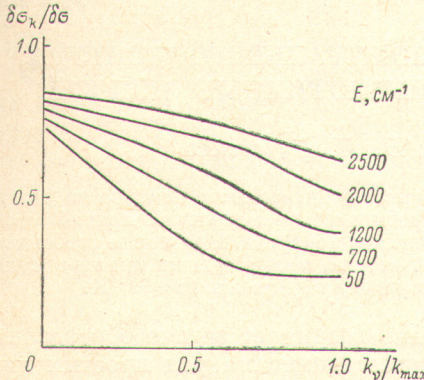


Рис. 3. Смещение центра тяжести коэффициента поглощения кислородной линии в атмосфере в зависимости от k_y/k_{\max} для линий с различной энергией E нижнего уровня.

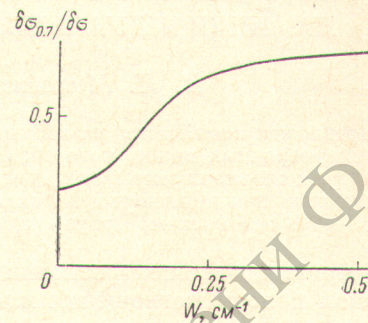


Рис. 4. Смещение центра тяжести линий поглощения на глубине 0.7 в зависимости от эквивалентной ширины W линии с $E=50 \text{ см}^{-1}$.

линии на ее глубине 0.7 в зависимости от эквивалентной ширины W , вычисленное с использованием коэффициента поглощения, обладающего наибольшей асимметрией ($E=50 \text{ см}^{-1}$). Из рис. 4 можно заключить, что положение линии наиболее сильно зависит от зенитного расстояния (интенсивность линии растет с зенитным расстоянием), когда ее эквивалентная ширина возрастает от 0.05 до 0.20 см^{-1} . Как следует из приведенных рисунков, наибольшая асимметрия свойственна линиям с низкими значениями энергии нижнего уровня и соответственно положение этих линий наиболее сильно зависит от эквивалентной ширины линии. Однако максимальная асимметрия и соответственно наибольшее изменение длины волны линий поглощения кислорода в атмосфере не превышает 0.002 \AA . Эта величина находится на пределе точности определения профилей линий и измерения положений линий, достижимой с помощью солнечных спектрографов с наибольшей разрешающей силой.

Литература

- [1] H. C. Van de Hulst. Ann. Ar., 8, 1, 1945.
- [2] В. Н. Карпинский. Изв. ГАО, 178, 84, 1965.
- [3] Т. Г. Адикс, В. Н. Дианов-Клоков. Опт. и спектр., 30, 205, 1971.
- [4] D. E. Burgh, D. A. Grupack. Appl. Opt., 8, 1493, 1969.
- [5] J. H. Miller, R. W. Boese, L. P. Giver. J. Quant. Spectr. and Radiat. Trans., 9, 1507, 1969.
- [6] Ю. А. Глаголев. Справочник по физическим параметрам атмосферы. 1970.

Поступило в Редакцию 21 апреля 1972 г.